

## "ПЕРЕХОД АНДЕРСОНА" В СВЕРХПРОВОДЯЩИХ СВЕРХРЕШЕТКАХ

*И.М.Суслов*

Физический институт АН СССР, 117924, Москва

*Статья поступила в редакцию 31 октября 1990 г.,  
принята к печати 5 декабря 1990 г.*

*Ключевые слова:* сверхпроводящие сверхрешетки, температура перехода, локализация параметра порядка, коэффициент прозрачности, фазовый переход.

Рассмотрены сверхпроводящие сверхрешетки, состоящие из чередующихся слоев двух материалов с толщинами  $d_0$  и  $d_1$ , малыми по сравнению с длиной когерентности. Получен аналог формул Де Жена и Купера для случая чистых сверхрешеток из металлов, различающихся эффективными массами и фермиевскими импульсами, при произвольной прозрачности границ раздела. Показано существование при определенных условиях локализации параметра порядка в слоях одного из материалов и возможность "перехода Андерсона" из локализованного состояния в делокализованное при изменении  $d_0$  или  $d_1$ .

### 1. ВВЕДЕНИЕ

В недавних работах [1,2] при анализе механизма сверхпроводимости плоскостей двойникования и интерпретации "сверхпроводящего взрыва" 1987 года обсуждалась возможность локализации параметра порядка в малых областях координатного пространства и существования "перехода Андерсона" из локализованного состояния в делокализованное при изменении параметров системы. Непосредственное экспериментальное обнаружение этих эффектов, однако, затруднительно, так как в рассмотренных в [1,2] ситуациях требуемое изменение параметров трудно осуществить на практике. Как будет показано ниже, эти эффекты могут быть легко наблюдаемы в сверхпроводящих сверхрешетках.

Интерес к экспериментальному [3,4] и теоретическому [5—7] исследованию сверхпроводящих сверхрешеток был связан в последнее время с развитием новых технологических методов напыления (молекулярно-лучевой эпитаксии и др.) и особенно возрос после открытия высокотемпературных оксидных сверхпроводников [8], так как, вследствие слоистой структуры последних, сверхрешетки могут использоваться для моделирования их свойств.

Пусть сверхрешетка состоит из чередующихся слоев материалов 0 и 1 с толщинами  $d_0$  и  $d_1 \equiv d$  и общим периодом  $L = d_0 + d_1$ ; константа четырехфермионного взаимодействия теории БКШ  $V$  и плотность электронных состояний на уровне Ферми  $N$  принимают внутри слоев значения  $V_0, N_0$  и  $V_1, N_1$  соответственно. Дебаевские энергии  $\omega_D$  материалов 0 и 1 считаем одинаковыми: такое приближение оправдано в рамках теории слабой связи ввиду сравнительно слабой зависимости температуры перехода сверхрешетки  $T_c$  от  $\omega_D$ .

Если  $d_0$  и  $d_1$  велики по сравнению с длиной когерентности  $\xi_0$ , то описание сверхрешетки возможно на основе теории Гинзбурга—Ландау с надлежащими граничными условиями [9]. Нас будет интересовать противоположный случай  $d_0$ ,

$d_1 \ll \xi_0$  (но  $d_0, d_1 \gg a$ , где  $a$  — межатомное расстояние). В этом случае  $T_c$  сверхрешетки определяется формулой БКШ  $T_c \sim \omega_D \exp(-1/\lambda_{eff})$ , где  $\lambda_{eff}$  при  $N_0 = N_1 \equiv N$  дается формулой Купера [10]:

$$\lambda_{eff} = \frac{\lambda_0 d_0 + \lambda_1 d_1}{d_0 + d_1}; \quad \lambda_0 = V_0 N; \quad \lambda_1 = V_1 N, \quad (1)$$

т.е. определяется простым усреднением величины  $\lambda = VN$  по пространству; этот результат сохраняется и в случае произвольной зависимости  $V$  от координат [11]. Для предельно грязных сверхпроводников формула (1) была обобщена Де Женем [12] на случай  $N_0 \neq N_1$ \*

$$\lambda_{eff} = \frac{V_0 N_0^2 d_0 + V_1 N_1^2 d_1}{N_0 d_0 + N_1 d_1}. \quad (2)$$

В настоящей работе рассмотрен случай чистых сверхпроводников с  $N_0 \neq N_1$ , не описываемый формулами (1), (2). Так же, как в формулах (1), (2), величина  $\lambda_{eff}$  оказывается зависящей лишь от отношения  $d_0/d_1$  и заключенной между  $\lambda_0$  и  $\lambda_1$ ; характер усреднения  $\lambda$  сильно зависит от проницаемости границы раздела материалов 0 и 1. Указанный выше эффект локализации параметра порядка проявляется в том, что при определенных условиях  $\lambda_{eff}$  не стремится к  $\lambda_0$  при  $d_1 \rightarrow 0$  (в условиях применимости формул  $d_1 \gg a$ ). "Переход Андерсона" проявляется в виде излома зависимости  $T_c$  от  $d_1$  (при  $L = \text{const}$ ) и связан с резкой перестройкой структуры параметра порядка в малом интервале значений  $d_1$ . Очевидно, эти эффекты отсутствуют в пределах применимости формул (1), (2).

## 2. СВОЙСТВА СВЕРХПРОВОДЯЩЕГО ЯДРА

Направление пространственной неоднородности сверхрешетки примем за ось  $z$ , так что параметры  $V$  и  $N$  являются функциями  $z$ . При вычислении  $T_c$  сверхрешетки будем пренебрегать поверхностными эффектами, т.е. игнорировать детали поведения физических величин на расстояниях  $\sim a$  от границ раздела. С той же точностью вместо сверхрешетки можно рассматривать двуслойный сэндвич; будем считать, что область  $0 < z < d$  заполнена материалом 1, а область  $d < z < L$  — материалом 0.

При  $L \ll v_F/\omega_D$  ( $v_F$  — фермиевская скорость) ядро  $K(z, z')$  в уравнении Горькова

$$\Delta(z) = V(z) \int K(z, z') \Delta(z') dz' \quad (3)$$

так же, как и функцию  $V(z)$ , можно считать кусочно-постоянным\*\*

\* Строго говоря, в [10,12] рассматривались не сверхрешетки, а двухслойные сэндвичи. Однако, учитывая, что  $T_c$  пленки толщиной  $d \ll \xi_0$  с точностью до поверхностных эффектов  $\sim a/d$  совпадает с  $T_c$  объемного материала [13—15], легко понять, что  $T_c$  сверхрешетки с точностью до членов  $\sim a/d_0, a/d_1$  совпадает с  $T_c$  сэндвича. Противоположное утверждение работы [7] ошибочно; в частности, оно противоречит результатам [6,11].

\*\* Утверждение о кусочном постоянстве  $K(z, z')$  высказано Де Женем [12] для грязных сплавов при  $L \ll \xi \sim \sqrt{\xi_0 l}$  ( $l$  — длина пробега), хотя формально в [12] использовалось более жесткое условие  $L \ll \sqrt{v_F/\omega_D}$ . В чистых сверхпроводниках свойство (4) справедливо при  $L \ll v_F/\omega_D$  (разд.4); при  $L \geq v_F/\omega_D$  оно не имеет места, что ясно уже из свойств ядра  $K_0(r)$  для однородного сверхпроводника [ $K_0(r) \sim r^{-1}$  при  $v_F/\omega_D \leq r \leq \xi_0$ ]. Тем не менее, в ряде случаев масштаб  $v_F/\omega_D$  никак не проявляется, и результаты справедливы в более широкой области  $L \leq \xi_0$  (сравни с [6]).

$$K(z, z') = \begin{cases} K_{11}, & 0 < z, z' < d \\ K_{00}, & d < z, z' < L \\ K_{01}, & (z-d)(z'-d) < 0 \end{cases} \quad V(z) = \begin{cases} V_1, & 0 < z < d \\ V_0, & d < z < L \end{cases} \quad (4)$$

и искать решение (3) в кусочно-постоянном виде:

$$\Delta(z) = \begin{cases} \Delta_1, & 0 < z < d \\ \Delta_0, & d < z < L. \end{cases} \quad (5)$$

Температурная зависимость  $K_{ij}$  оказывается логарифмической (разд.4)

$$K_{ij} = L_{ij} \ln \frac{1,14 \omega_D}{T}, \quad (6)$$

и уравнение для  $T_c$  имеет вид

$$1 - (V_0 L_{00} d_0 + V_1 L_{11} d_1) \ln \frac{1,14 \omega_D}{T} + V_0 V_1 d_0 d_1 (L_{00} L_{11} - L_{01}^2) \ln^2 \frac{1,14 \omega_D}{T} = 0. \quad (7)$$

Из правила сумм для ядра  $K(z, z')$  [12]

$$\int K(z, z') dz' = N(z) \ln \frac{1,14 \omega_D}{T} \quad (8)$$

следуют два соотношения между  $L_{00}$ ,  $L_{11}$  и  $L_{01}$ :

$$L_{00} d_0 + L_{01} d_1 = N_0; \quad L_{01} d_0 + L_{11} d_1 = N_1. \quad (9)$$

Для грязных сверхпроводников из уравнения диффузии Де Женом [12] получено третье соотношение между  $L_{ij}$ , что позволило вывести формулу (2). Для чистых сверхпроводников одну из величин  $L_{ij}$  требуется вычислить из микроскопической модели.

### 3. МИКРОСКОПИЧЕСКАЯ МОДЕЛЬ

Примем для материалов 0 и 1 изотропные квадратичные спектры общего вида

$$\varepsilon_0(\mathbf{k}) = U_0 + \frac{k^2}{2m} \equiv \frac{k^2 - k_0^2}{2m}; \quad \varepsilon_1(\mathbf{k}) = U_1 + \frac{k^2}{2m_1} \equiv \frac{k^2 - k_1^2}{2m_1}. \quad (10)$$

Энергию отсчитываем от уровня Ферми, так что  $k_0$  и  $k_1$  — соответствующие фермиевские импульсы. Ввиду разделения переменных в уравнении Шредингера одночастичные волновые функции имеют вид  $\varphi(z) \exp(ik r_{\parallel})$ ;  $r_{\parallel} = (x, y)$ ;  $k_{\perp} = (k_x, k_y)$ . При одинаковости объемов элементарных ячеек материалов 0 и 1 граничные условия на поверхности раздела (плоскости  $z = d$  для сэндвича) имеют вид [16]

$$\varphi(d+0) = \varphi(d-0); \quad \varphi'(d+0) - \frac{m}{m_1} \varphi'(d-0) = \kappa \varphi(d). \quad (11)$$

Параметр  $\kappa$  является характеристикой границы раздела и определяет коэффициент прохождения  $D$  через нее:

Рис.1. Спектр сверхрешетки для  $m, m_1 > 0$ . Кривая 1,  $\varepsilon = (k_{\parallel}^2 - k_0^2)/2m$ , и кривая 2,  $\varepsilon = (k_{\parallel}^2 - k_1^2)/2m_1$  разбивают плоскость  $(\varepsilon, k_{\parallel})$  на 4 области: I — непрерывный спектр (не показана его структура, связанная с делением на минизоны); II и III — квазидискретный спектр (состоит из набора двумерных зон); IV — область вне спектров материалов 0 и 1, в которой лежат поверхностные состояния (кривая 3)

$$\begin{aligned} D &\sim k_F^2/\kappa^2 \text{ при } \kappa^2 \geq k_F^2; \\ D &\sim 1 \quad \text{при } \kappa^2 \leq k_F^2 \end{aligned} \quad (12)$$

(в оценках считаем  $k_0 \sim k_1 \sim k_F \sim a^{-1}$ ,  $m \sim m_1$ ); пренебрегаем зависимостью  $\kappa$  от  $k_{\parallel}$ , что оправдано вблизи края зоны.

Одночастичные собственные функции  $\varphi_{sk_{\parallel}}(z)$  и собственные значения  $\varepsilon_s(k_{\parallel})$  классифицируются поперечным квантовым числом  $s$  и продольным квазиимпульсом  $k_{\parallel}$ . При фиксированном  $k_{\parallel}$  состояния сверхрешетки, перечисляемые индексом  $s$ , могут принадлежать к непрерывному, квазидискретному и дискретному спектрам. В общем случае можно выделить четыре области спектра (рис.1): область I, состояния которой принадлежат непрерывному спектру и распространяются по всей сверхрешетке; область II, состояния которой локализованы внутри слоев материала 1 и вследствие размерного квантования образуют квазидискретный спектр (без учета перекрытия волновых функций, соответствующих соседним слоям материала 1); область III, содержащую состояния квазидискретного спектра, локализованные в слоях материала 0; область IV, в которой лежат принадлежащие к дискретному спектру поверхностные (таммовские) состояния, локализованные вблизи границ раздела. Для определенности считаем  $k_1 > k_0$ .

Для двухслойного сэндвича с нулевыми граничными условиями в точках  $z = 0$  и  $z = L$  выражения для  $\varphi_{sk_{\parallel}}(z)$  и  $\varepsilon_s(k_{\parallel})$  в области I имеют вид:

$$\varphi_{sk_{\parallel}}(z) = \begin{cases} \frac{\sqrt{2} \sin k_s d_0}{\sqrt{d \sin^2 k_s d_0 + d_0 \sin^2 q_s d}} \sin q_s z, & 0 < z < d; \\ \frac{-\sqrt{2} \sin q_s d}{\sqrt{d \sin^2 k_s d_0 + d_0 \sin^2 q_s d}} \sin k_s(z - L), & d < z < L; \end{cases} \quad (13)$$

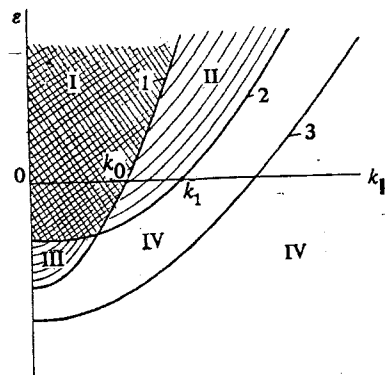
$$\varepsilon_s(k_{\parallel}) = (k_s^2 + k_1^2 - k_0^2)/2m = (q_s^2 + k_1^2 - k_1^2)/2m_1; \quad (14)$$

$$2k_s d_0 = 2\pi s + \pi + 2 \operatorname{Arctg} \left( \frac{\kappa}{k_s} + \frac{m}{m_1} \frac{q_s}{k_s} \operatorname{ctg} q_s d \right). \quad (15)$$

#### 4. ВЫЧИСЛЕНИЕ $L_{01}$

Ядро  $K(z, z')$  выражается через  $\varphi_{sk_{\parallel}}(z)$  и  $\varepsilon_s(k_{\parallel})$ :

$$K(z, z') = T \sum_{|\omega| < \omega_D} \int \frac{d^2 k_{\parallel}}{(2\pi)^2} \sum_{ss'} \frac{\varphi_{sk_{\parallel}}(z) \varphi_{sk_{\parallel}}^*(z') \varphi_{s'k_{\parallel}}(z) \varphi_{s'k_{\parallel}}^*(z')}{i\omega - \varepsilon_s(k_{\parallel}) \quad -i\omega - \varepsilon_{s'}(k_{\parallel})}. \quad (16)$$



Как показано Киржницем и Максимовым [11], при  $L \ll v_F/\omega_D$  в (16) можно отбросить члены с  $s \neq s'$ . В этом можно убедиться, замечая, что при  $s \neq s'$   $|\varepsilon_s(k_{\parallel}) - \varepsilon_{s'}(k_{\parallel})| \gg \omega_D$ , и оценивая слагаемые в сумме по  $s, s'$  в пренебрежении зависимостью  $\varphi_{sk_{\parallel}}(z)$  от  $k_{\parallel}$ . Учет последней не изменяет оценки членов с  $s = s'$  и может лишь уменьшить члены с  $s \neq s'$ . Вычислим для примера  $K_{01}$ . Полагая в (16)  $0 < z < d, d < z' < L$  и считая  $z$  и  $z'$  удаленными от границ раздела на расстояния, большие по сравнению с межатомными, убеждаемся, что вклад дает лишь область I. Подставляя (13—15) и замечая, что вклад в сумму по  $s$  возникает от окрестности точек  $q_s = q_f, k_s = k_f$ , где

$$q_f = \sqrt{k_1^2 - k_{\parallel}^2}; \quad k_f = \sqrt{k_0^2 - k_{\parallel}^2}, \quad (17)$$

разложим по  $q_s - q_f$  и  $k_s - k_f$  медленно меняющиеся функции. Выражая  $\sin k_s d_0$  через  $\text{ctg } q_s d$  с помощью уравнения (15), получим сумму по волновым векторам  $q_s$ , которые являются решениями уравнения  $W(q_s) = s$  со следующей функцией  $W(q)$ :

$$2\pi W(q) = \pi + 2d_0 \left[ -k_f + \frac{m}{m_1} \frac{(q_f - q)q_f}{k_f} \right] + 2 \text{Arctg} \left[ \frac{\kappa}{k_f} + \frac{mq_f}{m_1 k_f} \text{ctg } qd \right]. \quad (18)$$

Применяя преобразование

$$\begin{aligned} \sum_{s=-\infty}^{\infty} F(q_s) &= \int_{-\infty}^{\infty} dq F(q) \sum_{s=-\infty}^{\infty} |W'(q_s)| \delta(W(q) - s) = \\ &= \int_{-\infty}^{\infty} dq F(q) |W'(q)| \sum_{s=-\infty}^{\infty} e^{i2\pi s W(q)}, \end{aligned} \quad (19)$$

получим ( $v_f = q_f/m_1$ ):

$$\begin{aligned} K_{01}(z, z') &= T \sum_{\omega} \int_{|k_{\parallel}| < k_0} \frac{d^2 k_{\perp}}{(2\pi)^2} \int dq \frac{q_f}{\pi k_f} \left| \frac{m}{m_1} \right| \times \\ &\times \frac{4 \sin^2 qz \sin^2 \left[ \left( k_f + \frac{m}{m_1} \frac{(q - q_f)q_f}{k_f} \right) (z' - L) \right]}{\left[ d + d_0 f(qd) \right] \left[ \omega^2 + v_f^2 (q - q_f)^2 \right]} \sum_{s=-\infty}^{\infty} e^{i2\pi s W(q)}, \end{aligned} \quad (20)$$

где

$$f(qd) = \sin^2 qd + \left[ \frac{\kappa}{k_f} \sin qd + \frac{m}{m_1} \frac{q_f}{k_f} \cos qd \right]^2. \quad (21)$$

Разложим в ряд Фурье периодические функции от  $qd$ , произведем сдвиг  $q \rightarrow q + q_f$  и опустим члены, содержащие быстро осциллирующие множители  $e^{i2sq_f d}$ ,  $e^{isk_f d_0}$  с  $s \neq 0$ ,  $e^{i2q_f z}$  и т.д., которые исчезают при интегрировании по  $k_{\perp}$ . В результате в (20) остается лишь член с  $s = 0$  и исчезает зависимость от  $z, z'$ :

$$K_{01} = \ln \frac{1,14 \omega_D}{T} \int_{|k_{\parallel}| < k_0} \frac{d^2 k_{\perp}}{(2\pi)^2} \frac{|m_1|}{\pi^2 k_f} \int_0^{\pi} \frac{dy}{d + d_0 f(y)}. \quad (22)$$

Вычисляя оставшиеся интегралы, приходим к следующему выражению для  $L_{01}$ :

$$L_{01} = \frac{|m_1|}{2\pi^2 d_0} \times$$

$$\frac{\sqrt{k_1^2 + \frac{d}{d_0} [k_1^2 + \frac{m_1^2}{m^2} (k_0^2 + \kappa^2)] + \frac{d^2}{d_0^2} \frac{m_1^2}{m^2} k_0^2} - \sqrt{(k_1^2 - k_0^2) + \frac{d}{d_0} (k_1^2 - k_0^2 + \frac{m_1^2}{m^2} \kappa^2)}}{1 + \frac{d}{d_0} \left(1 + \frac{m_1^2}{m^2}\right) + \frac{d^2}{d_0^2} \frac{m_1^2}{m^2}}. \quad (23)$$

Выражение (23) совместно с (7) и (9) дает полное решение задачи о вычислении  $T_c$  сверхрешетки.

### 5. ИССЛЕДОВАНИЕ ПОЛУЧЕННЫХ ФОРМУЛ

Из (7, 9, 23) легко видеть, что  $T_c$  определяется формулой БКШ  $T_c = 1,14 \omega_D \exp(-1/\lambda_{eff})$ , где  $\lambda_{eff}$  является функцией лишь отношения  $d/d_0$ , а не каждого из  $d, d_0$  по отдельности. При  $m = m_1, k_0 = k_1, \kappa = 0$  выражение для  $\lambda_{eff}$  переходит в формулу Купера (1).

При  $k_1 \sim k_0 \sim k_1 - k_0, m \sim m_1$  структура радикалов в (23) выделяет три области  $d/d_0 \ll D, D \ll d/d_0 \ll D^{-1}, d/d_0 \gg D^{-1}$ , (при  $D \sim 1$  вторая область отсутствует), в которых могут быть получены простые асимптотики. Полагая  $\lambda_0 = V_0 N_0, \lambda_1 = V_1 N_1$  и вводя обозначение

$$T^* = 1,14 \omega_D e^{-1/\lambda^*}; \quad \lambda^* = V_1 N^*, \quad (24)$$

где  $N^*$  — плотность состояний, на уровне Ферми, соответствующая области II квазидискретного спектра:

$$N^* = \int_{k_1 > |k_{\parallel}| > k_0} \frac{d^2 k_{\perp}}{(2\pi)^2} \frac{1}{d} \sum_s \delta \left( \varepsilon - \frac{d_s^2 + k_{\parallel}^2 - k_1^2}{2m_1} \right) \Big|_{\varepsilon=0} = \frac{|m_1|}{2\pi^2} \sqrt{k_1^2 - k_0^2}, \quad (25)$$

получим в области  $d/d_0 \ll D$ :

$$\frac{T_c - T_{c0}}{T_{c0}} = \frac{V_0(N_1 - N^*)(V_1 N_1 - V_0 N_0)}{(V_0 N_0)^2 (V_0 N_0 - V_1 N^*)} \frac{d}{L}, \quad T_{c0} > T^*; \quad (26)$$

$$T_c = T^* + O\left(T^* \frac{d}{DL}\right), \quad T_{c0} < T^*. \quad (27)$$

В области  $D \ll d/d_0 \ll D^{-1}$ :

$$\frac{T_c - T_{c0}}{T_{c0}} = -\frac{1}{2V_0N_0} \sqrt{\frac{d}{d_0} \frac{k_0^2}{\kappa^2}}, \quad T_{c0} > T_{c1};$$

$$\frac{T_c - T_{c1}}{T_{c1}} = -\frac{V_1N_0}{2(V_1N_1)^2} \sqrt{\frac{d_0}{d} \frac{k_0^2}{\kappa^2}}, \quad T_{c0} < T_{c1}.$$

В области  $d/d_0 \gg D^{-1}$ :

$$\frac{T_c - T_{c1}}{T_{c1}} = \frac{V_1N_0(V_0N_0 - V_1N_1)}{(V_1N_1)^3} \frac{d_0}{L}. \quad (28)$$

Зависимости  $T_c$  от  $d$  при постоянном  $L$  и различных соотношениях между  $T_{c0}$ ,  $T_{c1}$  и  $T^*$  (с учетом, что всегда  $T^* < T_{c1}$ ) показаны на рис. 2. Наиболее характерные черты этих зависимостей следующие: а) при  $D \rightarrow 0$   $T_c = \max(T_{c1}, T_{c0})$ , что и должно быть из физических соображений, так как в этом случае слои материалов 0 и 1 становятся независимыми; б)  $T_c$  лежит между температурами перехода  $T_{c0}$  и  $T_{c1}$  исходных материалов 0 и 1; в) в случае  $T^* > T_{c0}$  (см. рис.2,а)  $T_c$  не стремится к  $T_{c0}$  при  $d \rightarrow 0$  (в области применимости  $d \gg a$ ), что связано с эффектом локализации параметра порядка в слоях материала 1. Аналогичный эффект имеет место для плоского дефекта в сверхпроводнике [1,2], где он обусловлен наличием таммовских уровней; в рассматриваемом случае роль таммовских уровней играют состояния квазидискретного спектра локализованные в слоях материала 1; г) в случае  $T_{c0} > T^*$  (см. рис.2,б) в точке  $d = d_c \sim DL$  происходит "переход Андерсона" от режима локализации параметра порядка в слоях материала 1 к делокализованному режиму, в котором параметр порядка распространяется по всей сверхрешетке; следствием перехода является излом в зависимости  $T_c(d)$ . Для исследования этого перехода положим

$$L_{01} \equiv \frac{N_1 - N_d}{d_0}; \quad T_d = 1,14 \omega_D e^{-1/V_1N_d}, \quad (29)$$

выразим  $L_{00}$  и  $L_{11}$  через  $L_{01}$  согласно (9) и подставим в (7). В области  $d \ll d_0$  можно опустить члены  $\sim d/d_0$  и получить  $T_c = \max(T_{c0}, T_d)$ . Так как  $N_d$  при увеличении  $d$  меняется от  $N^*$  до  $N_1$ , то  $T_d$  меняется от  $T^*$  до  $T_{c1}$  и в некоторой точке

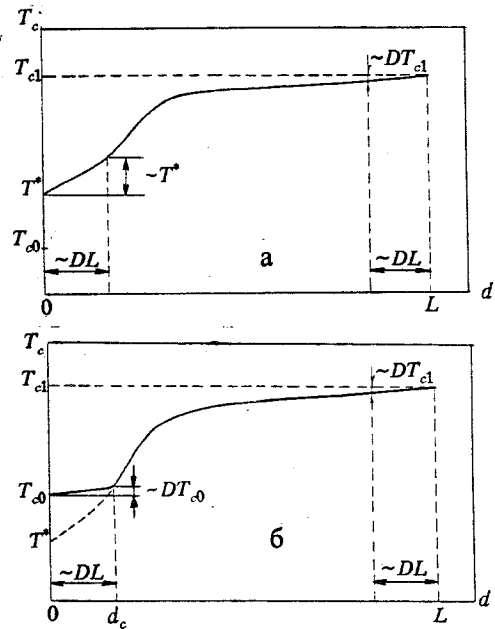


Рис. 2. Зависимость  $T_c$  сверхрешетки от  $d$  при постоянном  $L$ : а —  $T_{c1} > T^* > T_{c0}$ , б —  $T_{c1} > T_{c0} > T^*$ . Случай  $T_{c0} > T_{c1}$  аналогичен случаю б с  $T^* = 0$  и перестановкой материалов 0 и 1

$d_c$  пересекает  $T_{c0}$ . Следовательно, в этом приближении в зависимости  $T_c(d)$  имеется излом при  $d = d_c$ . Из уравнения Горькова (3) с ядром (4) легко получить:

$$\Delta_1 = \Delta_0 \frac{V_1 K_{01} d_0}{1 - V_1 K_{1d}} = \Delta_0 \frac{V_1 (N_1 - N_0) N_d \ln(1,14 \omega_D / T_c)}{1 - V_1 N_d \ln(1,14 \omega_D / T_c)}. \quad (30)$$

При  $d < d_c$   $T_c = T_{c0}$  и  $\Delta_1 \sim \Delta_0$ ; при  $d > d_c$  знаменатель обращается в нуль и  $\Delta_1 / \Delta_0 = \infty$ . При учете опущенных членов  $\sim d/d_0$ , которые вблизи перехода имеют порядок  $D$ , излом в зависимости  $T_c(d)$  сглаживается на масштабе  $\delta d \sim D^{1/2} d_c$ , а отношение  $\Delta_1 / \Delta_0$  в области  $d > d_c$  имеет порядок  $D^{-1}$ ; при малых  $D$ , которые можно создать, напыляя между материалами 0 и 1 тонкий слой диэлектрика, переход оказывается резким. Если вносить вглубь слоев материала 0 магнитные примеси, то зависимость  $T_c(d)$  будет меняться только в области  $d < d_c$ : это свойство можно использовать для регистрации перехода.

При  $T_{c0} > T_{c1}$  аналогичный переход имеется в области  $d_0 \sim DL$ ; этот случай аналогичен предыдущему с  $T^* = 0$  и перестановкой материалов 0 и 1.

Автор признателен А.Ф.Андрееву за обсуждение результатов работы.

#### С п и с о к л и т е р а т у р ы

1. Суслов И.М. — ЖЭТФ, 1989, т. 95, с. 949.
2. Суслов И.М. — ФТТ, 1989, т. 31, с. 278.
3. Kanoda K., Mazaki H., Hosoi N., Shinjo T. — Phys. Rev. B, 1987, v. 35, p. 6736.
4. Lowe W.P., Geballe T.H. — Phys. Rev. B, 1984, v. 29, p. 4961;  
Banerjee I., Yang Q.S., Falko C.M., Shuller I.K. — Sol. St. Comm., 1982, v. 41, p. 805.
5. Takahashi S., Tachiki M. — Phys. Rev. B, 1986, v. 33, p. 4620.
6. Баранов М.В., Буздин А.И., Булаевский Л.Н. — ЖЭТФ, 1986, т. 91, с. 1063.
7. Kobes R.L., Whitehead J.R., Yuan B.J. — Phys. Let. A., 1988, v. 132, p. 182.
8. Bednorz J.C., Müller K.A. — Z. Phys. B, 1986, v. 64, p. 189; Wu M.K. et al. — Phys. Rev. Let., 1987, v. 58, p. 908.
9. Зайцев Р.О. — ЖЭТФ, 1966, т. 50, с. 1051.
10. Cooper L.N. — Phys. Rev. Let., 1961, v. 6, p. 689.
11. Киржниц Д.А., Максимов Е.Г. — Письма в ЖЭТФ, 1965, т. 2, с. 442; ФММ, 1966, т. 22, с. 520.
12. De Gennes P.G. — Rev. Mod. Phys., 1964, v. 36, p. 225.
13. Шаповал Е.А. — Письма в ЖЭТФ, 1967, т. 5, с. 57.
14. Овчинников Ю.Н. — ЖЭТФ, 1973, т. 64, с. 719.
15. Каган Ю., Дубовский Л.Б. — ЖЭТФ, 1977, т. 72, с. 647.
16. Соколов И.М. — ЖЭТФ, 1985, т. 89, с. 566.